

# سنگ‌شناسی و زمین‌شیمی توده مافیک - اولترامافیک قره آغاج، شمال باختر ارومیه

نوشته: میر صالح میرمحمدی\* و علی کنانیان\*

\*پردیس علوم، دانشکده زمین‌شناسی، دانشگاه تهران، تهران، ایران

## Petrology and Geochemistry of Qareaghaj Mafic – Ultramafic Intrusion, NW of Urmia

By: M. Mirmohammadi\* & A. Kananian\*

\*School of Geology, College of Sciences, Tehran University, Tehran, Iran

تاریخ دریافت: ۱۳۸۵/۰۶/۰۵ تاریخ پذیرش: ۱۳۸۶/۰۴/۰۵

### چکیده

توده مافیک- اولترامافیک قره آغاج در فاصله ۳۶ کیلومتری شمال باختر ارومیه قرار دارد. این توده از لحاظ سنگ‌شناسی از دو بخش اصلی شامل سنگ‌های مافیک بدون کانی‌سازی و سنگ‌های اولترامافیک غنی از Fe-Ti-P (سنگ‌های FTP) تشکیل یافته است. بخش مافیک به طور غالب حاوی گابروی درشت بلور، میکرو گابرو و متا گابرو با مجموعه کانی‌ای ساده (پلازیو کلاز+ کلینوپیروکسن و ایلمنیت) و ارتوآمفیبولیت است. بر اساس روابط صحرایی، شواهد سنگ‌نگاری و زمین‌شیمیایی، این سنگ‌ها رابطه بسیار نزدیکی با یکدیگر داشته و هم مانند به مجموعه کانی‌ای (غنى از اولیوین، آپاتیت، ایلمنیت و مگنتیت) و همچنین ترکیب شیمیایی غیرعادی نشان می‌دهند. سنتروی ۵ سانتی‌متر تا چند متر تشکیل یافته، به گونه‌ای که به طور کامل توسط گابروها احاطه شده و با میزان، همبری ناگهانی، موازی و هم‌شیب دارد. این سنگ‌ها در مقایسه با سنگ‌های اولترامافیک متعارف، مجموعه کانی‌ای (غنى از اولیوین، آپاتیت، ایلمنیت و مگنتیت) و همچنین ترکیب شیمیایی غیرعادی نشان می‌دهند.  $\Sigma\text{REE} \sim 10\text{-}340\text{ ppm}$ ,  $\text{Cr} \sim 40\text{-}160\text{ ppm}$ ,  $\text{Ni} \sim 7\text{-}73\text{ ppm}$ ,  $\text{SiO}_2 \sim 21\text{-}30\text{ wt\%}$ ,  $\text{MgO} \sim 9\text{-}20\text{ wt\%}$ ,  $\text{TiO}_2 \sim 5\text{-}11\text{ wt\%}$ ,  $\text{Fe}_2\text{O}_3^t \sim 26\text{-}42\text{ wt\%}$ ,  $\text{P}_2\text{O}_5 \sim 0\text{-}1\text{-}5\text{ wt\%}$ . سنگ‌های FTP اغلب برگوارگی مانگما می‌داشته و در مجموع گسترش آنها از روند عمومی توده قره آغاج (NW-SE) پیروی می‌کند. شواهد صحرایی، سنگ‌نگاری و داده‌های زمین‌شناسی حاکی از این است که سنگ‌های FTP و میزان گابروی آنها با یکدیگر ارتباط ژنتیکی مشخصی ندارند، به گونه‌ای که انواع FTP (مشتق از مانگما فربیازالتی غنى از P) به صورت تأخیری به درون سنگ‌های میزان در حال دگر‌شکلی پلاستیک دمای بالا در یک زون برشی محلی نفوذ کرده‌اند.

**کلید واژه‌ها:** قره آغاج، اولترامافیک، ایلمنیت، مگنتیت، آپاتیت، سنگ‌های FTP

### Abstract

Qareaghaj mafic-ultramafic intrusion (QMUI) is located in northwest Iran, 36 km NW from Urmia city. The QUMI is composed mainly of non-mineralized mafic and Fe-Ti-P-rich ultramafic rocks (FTP). The mafic rocks, mainly coarse-grained gabbro, microgabbro, metagabbro and ortho-amphibolite, have simple mineral assemblage (plg + cpx + ilm). Based on field observations, petrography and geochemistry, they are directly related to each other (comagmatic). The FTP forms numerous layers and sill-like bodies, ranging in thickness from ~5cm to several meters. These rocks with high proportions of olivine, apatite, ilmenite and magnetite, show unusual bulk composition (e.g.,  $\text{SiO}_2 \sim 21\text{-}30\text{ wt\%}$ ,  $\text{Fe}_2\text{O}_3^t \sim 26\text{-}42\text{ wt\%}$ ,  $\text{TiO}_2 \sim 5\text{-}11\text{ wt\%}$ ,  $\text{MgO} \sim 9\text{-}20\text{ wt\%}$ ,  $\text{P}_2\text{O}_5$  up to 5.1 wt%,  $\text{Cr} \sim 40\text{-}160\text{ ppm}$ ,  $\text{Ni} \sim 7\text{-}73\text{ ppm}$ ,  $\Sigma\text{REE} \sim 10\text{-}340\text{ ppm}$ ). The FTP totally included by mafic



rocks with sharp and concordant contact shows magmatic lamination and follows general NW-SE trend of the QMUI. Field relationship, petrography and geochemical data suggest that the FTP is not related to mafic host rocks and indeed intruded later into gabbros during plastic, high temperature deformation in local shear zone.

**Keywords:** Qareaghaj, Ultramafic, Ilmenite, Magnetite, Apatite, FTP Rocks

#### مقدمه

(e.g., Philpotts, 1967; Kolker, 1982; Duchesne, 1999) ناهم‌شیب یافت می‌شوند (Duchesne, 1999).

در بیشتر موارد سنگ‌های FTP در ارتباط با توده‌های آنور‌توزیتی پروتروزوویک گزارش شده‌اند (e.g., Owen & Dymek, 1992; Ashwal, 1993; Markel et al., 1998; Arebäck & Stigh, 2000 علاوه بر این، گونه‌سنگ‌های بهابه Force, 1991; Jiang et al., 2004) مقدار کمتر با مجموعه‌های آذرین قیایی (Bornhorst, 2003; Karkkainen & Appliquist, 1999 & Karkkainen)

بخش‌های توده‌های بالایی مافیک - اولترامافیک لایه‌ای مانند کمپلکس بوشولد (e.g., Reynolds, 1985; Von Gruenwaldt, 1993) و اسکیرگارد (McBirney, 1996) و توده‌های گابرویی لایه‌ای کوچک (Bornhorst, 2003; Karkkainen & Appliquist, 1999 & Karkkainen) نیز یافت می‌شوند.

در مورد منشأ سنگ‌های FTP و سازوکارهای تمرکز اکسیدهای آهن و تیتانیم ( $\pm$  آپاتیت) فرضیه‌های مختلفی از جمله نا-آمیختگی مایعات، تفریق یافته‌های مرحله تأخیری آنور‌توزیت‌ها، کومولای بلوری، تبلور دوباره در حالت نیمه جامد و تفریق یافته‌های مرحله تأخیری توده‌های مافیک - اولترامافیک لایه‌ای ارائه شده است (e.g., Kolker, 1982; Morse, 1990; Force, 1991; Duchesne, 1999; Markel, 2001). با این حال درباره سنگ‌زایی و ارتباط بین انواع سنگ‌های FTP اتفاق نظر وجود ندارد (Dymek & Owen, 2001).

سنگ‌های اولترامافیک توده قره آغاج تنها بروزنزد از سنگ‌های FTP در ایران بوده و با توجه به ویژگی‌های صحرایی و کانی شناسی، تفاوت‌های مشخصی با سنگ‌های شناخته شده FTP در جهان دارند، به گونه‌ای که شاید بتوان آنها را در نوع خود منحصر بفرد دانست. در مقاله حاضر، ضمن مرور ویژگی‌های سنگ‌شناسی و کانی شناسی توده قره آغاج، برای نخستین بار زمین‌شیمی این توده با تأکید بر سنگ‌های اولترامافیک غنی از Fe-Ti-P و همچنین ارتباط بین سنگ‌های مافیک و اولترامافیک به بحث گذاشته می‌شود.

#### زمین‌شناسی عمومی و روابط صحرایی

محدوده مورد مطالعه در تقسیمات زمین‌شناسی ایران، بر اساس دیدگاه‌های

توده نفوذی قره آغاج بین طول‌های جغرافیایی  $43^{\circ} 44^{\circ}$  تا  $50^{\circ} 44^{\circ}$  و عرض‌های جغرافیایی  $36^{\circ} 46^{\circ}$  تا  $37^{\circ} 50^{\circ}$  و در فاصله ۳۶ کیلومتری شمال باخته ارومیه قرار دارد (شکل ۱). این توده در نقشه زمین‌شناسی ۱:۲۵۰۰۰۰ (Haghipour & Aghanabati, 1993) بدون در نظر گرفتن سن نسبی، وابسته به یک مجموعه تفکیک نشده شامل سنگ‌های دیوریتی، گابرویی و پریدوتی معرفی شده است.

توده قره آغاج از دو واحد سنگی مشخص شامل سنگ‌های اولترامافیک و مافیک تشکیل یافته است. سنگ‌های اولترامافیک این توده به عنوان کانسار تیتانیم - فسفات قره آغاج برای نخستین بار توسط کاوشنگران (۱۳۷۲) شناسایی و معرفی شد. سپس این کانسار طی سال‌های ۱۳۷۸ تا ۱۳۷۴ مورد بررسی‌های اکتشاف نیمه تفصیلی، تفصیلی، حفاری‌های اکتشافی و فرآوری مقدماتی در مقیاس آزمایشگاهی قرار گرفت (کاوشنگران، ۱۳۷۵، ۱۳۷۶، ۱۳۷۷). علاوه بر مطالعات اکتشافی، توده قره آغاج از لحاظ کانی‌سازی و ویژگی‌های سنگ‌شناختی نیز، در قالب چند رساله کارشناسی ارشد و مقاله مطالعه شده است (علیپور اصل، ۱۳۷۵؛ امامعلی پور و همکاران، ۱۳۷۵؛ رحیم سوری، ۱۳۸۰). سنگ‌های بخش اولترامافیک توده قره آغاج به طور غیر عادی غنی از فسفر (آپاتیت)، آهن و تیتانیم (ایلمنیت و مگنتیت) بوده به همین دلیل به اختصار سنگ‌های FTP خوانده می‌شوند. این گونه سنگ‌ها به رغم داشتن حجم و گسترش کم، به دلیل میزان کانسارهای اکسید آهن و تیتانیم و فسفات و همچنین ترکیب شیمیایی و کانی شناسی غیرعادی در مقایسه با سنگ‌های آذرین متعارف (Owen & Dymek, 1992) اهمیت و جذابیت علمی و اقتصادی قابل توجهی دارند.

بر اساس ترکیب شیمیایی و کانی شناسی، اسامی مختلفی برای سنگ‌های FTP پیشنهاد شده است که از آن جمله می‌توان به نلسونیت (Watson & Taber, 1915)، ژوتونیت (jotuvnite) و اکسید-آپاتیت (OAGN) (Owen & Dymek, 1992) گابرونوریت (Froogabro, 1988) اشاره کرد. نمونه‌های شناخته شده این سنگ‌ها در دنیا بیشتر به شکل دایک، سیل، عدسی، لایه و توده‌های کوچک هم‌شیب یا



قابل توجهی از توده را تشکیل می‌دهد که به طور محلی پگماتیتی نیز هست. میکروگابرو به رنگ سبز تیره در بخش مافیک به فراوانی یافت می‌شود که در برخی مناطق گابروهای درشت بلور را قطع کرده ولی همبری آنها با سنگ‌های اولترامافیک پوشیده و نامشخص است. در مقیاس صحرایی تبدیل گابروهای درشت بلور و میکروگابرو به متاگابرو و ارتوا-آمفیولیت بسیار نامنظم بوده و مستقل از همبری با سنگ‌های اولترامافیک است. سنگ‌های بخش مافیک در برخی مناطق به وسیله دایک‌های فلدسپاتی سفید رنگ و به شدت دگرسان (حداکثر به سمترا ۲ متر) قطع شده‌اند.

سنگ‌های اولترامافیک اغلب به صورت لایه‌ای و شکل‌های سیل مانند ناپیوسته بوده و به تناوب با سنگ‌های مافیک قرار دارند (شکل ۲a). گسترش این سنگ‌ها از روند عمومی توده و ساختارهای درونی آن پیروی می‌کند، به طوری که در برخی مناطق، منظره نفوذی‌های لایه‌ای را تداعی می‌کنند. سنگ‌های مافیک و اولترامافیک در تمام توده همبری ناگهانی و موازی داشته، آثار دگرگونی همبری و زبانه‌ها یا رگجه‌هایی از آنها در درون یکدیگر دیده نمی‌شود. با این وجود در لایه‌های اولترامافیک و در همبری با سنگ‌های مافیک، بیگانه بلور جهت یافته پلاژیوکلاز (شکل ۲) و به مقدار کمتر بیگانه سنگ گابروبی یافت می‌شوند. موضوع جالب توجه اینکه هیچ نوع ترکیب سنگی حد واسطه بین گابروها و سنگ‌های اولترامافیک در تمام توده وجود ندارد. سنگ‌های اولترامافیک را بر اساس گسترش رخمنونها و ارتباط با سنگ‌های میزبان گابروبی می‌توان به دو زون اصلی (MZI، MZII) و دوزیرزون (SZI) (شکل ۱) تقسیم کرد. گسترش این زون‌ها کاملاً موازی یکدیگر بوده و از روند عمومی توده پیروی می‌کنند، اگرچه در اثر عملکرد گسل‌های پرشبی با امتداد NW-SE و NE-SW جایه‌جایی و خردش‌گی نشان می‌دهند. بر اساس مشاهدات صحرایی، سمترا کلی لایه‌های اولترامافیک در MZI بین ۳۰ تا ۵۰ متر متغیر بوده و در میان آنها لایه‌های گابروبی به تناوب و به سمترا ۱۰ سانتی متر تا ۲ متر دیده می‌شوند (شکل ۲a). زون اولترامافیک MZII با سمترا کلی ۳۰ تا ۶۰ متر، فاقد لایه‌های گابروبی بوده و تنها یک بروزند گرانیتی به سمترا ۱/۵ متر در مرکز آن با همبری تیز دیده می‌شود. زیرزون‌های SZII به ترتیب نزدیک سنگ‌های کمر بالا و پایین توده گسترش دارند. این زیرزون‌ها شامل تناوبی از ده‌ها لایه مافیک-اولترامافیک به سمترا ۵ سانتی متر تا حداقل ۵۰ سانتی متر هستند. سنگ‌های اولترامافیک برخلاف بخش مافیک که دگرشکلی، دگرگونی و دگرسانی بارزی را نشان می‌دهند، اغلب سالم و نادگر شکل بوده و تنها در امتداد شکستگی‌ها و زون‌های برشی محلی سرپاپتی شده‌اند. در رخمنون‌های سطحی نیز اولترامافیک‌ها به دلیل ایدنگستی شدن، رنگ قهوه‌ای دارند که این پدیده سبب شده است تا در صحرای آسانی از دیگر سنگ‌ها تفکیک شوند. بر

مخالف در زون ساختاری خوی-مهاباد (نبوی، ۱۳۵۵)، سلطانیه-میشو (افتخار نژاد، ۱۳۵۹) واقع شده و برخی نیز آن را با ختری ترین بخش ایالت زمین ساختی ایران مرکزی به شمار آورده‌اند (Haghipour & Aghanabati, 1973). بر این اساس، این منطقه را می‌توان محل برخورد سه زون ساختاری عمدۀ ایران یعنی البرز-آذربایجان، ایران مرکزی و سنتنج-سیرجان دانست (شکل ۱). توده قره آغاج دارای ۸-۱۰ کیلومتر درازا و ۱-۱/۷ کیلومتر پهنا بوده و در بین نهشته‌های پرمین و اینفراکامبرین در شمال و کمپلکس دگرگونی منسوب به پرکامبرین در جنوب و خاور جای گرفته است (شکل ۱). در منطقه علاوه بر توده قره آغاج، توده‌های نفوذی بزرگتری از جمله توده ترشاب و چیر نیز بروزند دارند که بیشتر شامل گابروبی متوسط تا درشت بلور، متاگابرو و آمفیولیت هستند (شکل ۱). بررسی‌های صحرایی و سنگ‌نگاری در پژوهش حاضر نشان داد که این توده‌ها، بویژه چیر از لحاظ سنگ‌شناسی شباهت زیادی با بخش مافیک توده قره آغاج دارند، با این تفاوت که سنگ‌های اولترامافیک FTP در آنها وجود ندارد.

توده قره آغاج روند عمومی NW-SE خاور دارد و شبی ساختارهای درونی آن، از جمله لایه‌ها و برگوارگی ۵۰-۶۵ درجه به سمت N-NE است. سنگ‌های درونگیر کمر بالای توده شامل سنگ آهک و آهک‌های دولومیتی پرمین (سازندهای درود و روته) است. همبری توده با این سنگ‌های بلور دوباره یافته به طور مشخص از نوع گسلی بوده و در حد فاصل آنها زون میلونیتی تا اولترامیلونیتی به سمترا ۵-۱۰ متر و شبی ۵۰-۶۰ درجه به سمت N-NE بروزند دارد. سنگ‌های کمر پایین توده شامل مجموعه دگرگونی منسوب به پرکامبرین از نوع گنایس و آمفیولیت شامل (بررسی‌های حاضر Haghipour & Aghanabati, 1973) است. بررسی‌های گرانیت می‌دهد که سنگ‌های بلافضل توده در جنوب، در واقع ییش ترا از نوع گرانیت میلونیتی بوده و به مقدار کمتر شامل سنگ‌های آتشفسانی دگرگون شده و دگرگونی‌های درجه پایین سازنده کمر هستند. همبری این سنگ‌ها با توده در مناطقی گسلی، و در برخی قسمت‌ها تدریجی یا پوشیده می‌باشد (شکل ۱). سنگ‌های اولترامافیک در توده قره-آغاج به طور کامل به وسیله سنگ‌های مافیک احاطه شده‌اند و با سنگ‌های رسوبی و دگرگونی همبری ندارند. بخش مافیک ترکیب غالب گابروبی داشته و به طور محلی، بویژه در همبری با سنگ‌های درونگیر کمر بالا و کمر پایین متحمل دگرشکلی و دگرگونی شده که نتیجه آن تشکیل متاگابرو و ارتوا-آمفیولیت است. ویژگی بارز سنگ‌های مافیک وجود برگوارگی و خطوارگی ناشی از تناوب کانی‌های تیره (پیروکسن و آمفیول) و پلاژیوکلاز است. امتداد این ساختارها موازی روند عمومی توده، زون میلونیتی و همبری با سنگ‌های درونگیر است. گابری دانه متوسط تا درشت بلور با بافت دانه‌ای نیمه خودریخت بخش



بوده و اندازه آنها از  $۰/۲$  تا  $۳$  میلی‌متر متفاوت است (شکل b-۲). برخی از این بلورها فازهای دیگر مانند آپاتیت، کلینوپیروکسن، قطرک‌های اکسید آهن و تیتانیم، سولفیدها و بیوتیت را به صورت میانبار در برگرفته‌اند (شکل b-d). مرز بین بلورهای اولیوین در مواردی که مقدار اکسیدهای آهن و تیتانیم در سنگ اندک است، اشکال چند ضلعی را نشان می‌دهند که نشانه‌ای از تعادل بافتی درجه بالا است. اولیوین در بیشتر نمونه‌ها سالم بوده ولی در برخی موارد به وسیله سرباتین با یا بدون کلریت و تالک جایگزین شده است. کلینوپیروکسن (اوژیت-دیوپسید) بیشتر بی‌شکل تا نیمه شکل دار بوده، اندازه آن از  $۰/۵$  تا  $۵$  میلی‌متر متغیر است (شکل c-۲). در برخی نمونه‌ها این کانی به صورت اجتماع غده یا میانبار مانند دیده می‌شود که به احتمال می‌تواند ناشی از جدایش در حین جایگزیری یا جریان ماگمایی در میزان ورلیتی و دونیتی باشد (بخشی از کلینوپیروکسن‌ها ماهیت بیگانه بلور دارند). کلینوپیروکسن بدون تیغه‌های ارتوپیروکسن بوده ولی به مقدار قابل توجهی حاوی سوزن‌های جهت یافته ایلمینیت (در دو جهت به موازات رخ کانی میزان) و به مقدار کمتر میانبارهای تیتانومگنتیت و بیوتیت است. در اطراف برخی بلورهای کلینوپیروکسن و اولیوین، حاشیه واکنشی از نوع هورنبلند قهقهه‌ای ( $\pm$  بیوتیت) (شکل c-۲) تشکیل شده است که می‌توان آن را نتیجه واکنش مذاب آبدار بین بلوری با فازهای سیلیکاتی از پیش تبلور یافته در نظر گرفت. آپاتیت در این سنگ‌ها اغلب به شکل منشورهای شکل دار تانیمه شکل دار و در اندازه‌های  $۵$ - $۵$  میکرون تا  $۲$  میلی‌متر دیده می‌شود (شکل d-۲). این کانی در دو نسل شامل بلورهای بزرگ بین بلوری و منشورهای ریز و شکل دار (میانبار) در اولیوین، کلینوپیروکسن و اکسیدهای آهن و تیتانیم یافت می‌شود. نسبت آپاتیت به اکسیدهای اولترامافیک‌ها حدود  $۰/۵$  تا  $۰/۷$  اندازه‌گیری شده است. پلاژیوکلازها بیشتر نیمه شکل دار تا بی شکل بوده و طول آنها  $۳$  تا  $۶$  میلی‌متر است. با توجه به شواهد صحرایی و همچنین اندازه، شکل، ماکل و نبود میانبار در پلاژیوکلازها که مشابه این کانی در گابروهاست می‌توان گفت که این کانی در اولترامافیک‌ها ماهیت بیگانه بلور و نه فاز اولیه را دارد و در طی جایگزیری این سنگ‌ها از گابروهای در حال دگرشکلی مشتق شده است. کانی‌های تشکیل دهنده اولترامافیک‌ها بویژه سیلیکات‌ها و آپاتیت جهت یافتنی نسبی (برگوارگی ماگمایی، شکل b-۲) نشان می‌دهند که به خوبی موازی روند عمومی توده، سطح همبری مافیک- اولترامافیک و برگوارگی گابروها است.

اکسیدهای آهن و تیتانیم از نوع ایلمینیت به عنوان فاز غالب، تیتانومگنتیت و به مقدار اندک مگنتیت بوده و در سه نسل یافت می‌شوند (شکل f-b-۲):

- (۱) میانبارها و قطرک‌های ریز گرد تا یکضی شکل در اولیوین و کلینوپیروکسن؛
- (۲) قطعات درشت بین بلوری و
- (۳) بلورهای بی‌شکل در رگچه‌های تأخیری (تا

خلاف سنگ‌های مافیک، رخنمون بخش اولترامافیک در تمام توده وجود ندارد و امتداد آنها تنها تا  $۳/۵$  کیلومتر قابل ریدایبی است. به رغم این که در برخی بررسی‌های پیشین (کاوشگران، ۱۳۷۵)، بر اساس شواهد صحرایی از جمله دگرگونی همبری سنگ‌های کربناتی پرمین و همچنین ارتباط آن با رخنمون‌های سازند قم، برای توده قره‌آغاج سن جوان‌تر از پرمین و قدیم‌تر از الیگومیوسن پیشنهاد شده است، اما این سن نسبی به دلیل همبری گسلی توده با سنگ‌های درونگیر در بیشتر مناطق و تدریجی بودن آن در برخی قسمت‌ها قابل تأیید نیست، ضمن اینکه سنگ‌های پوشاننده توده در منطقه نیز دیده نمی‌شود.

### سنگ‌نگاری و کافی‌شناسی

برای بررسی‌های سنگ‌نگاری حدود  $۱۵۰$  نمونه در نور عبوری و بازتابی مطالعه شد. برای تجزیه مдал به طور متوسط تعداد  $۱۰۰۰$  نقطه در هر مقطع شمارش شد که نتایج آن برای  $۱۳$  نمونه معرف در جدول ۱ آورده شده است.

### سنگ‌های اولترامافیک

این سنگ‌ها تمام بلورین، ریز تا متوسط دانه بوده و بافت غالب آنها ارتوکومولاوی است. در این بافت شبکه‌ای از بلورهای اولیوین و کلینوپیروکسن به وسیله اکسیدهای آهن و تیتانیم و آپاتیت بین بلوری فراگرفته شده‌اند (شکل b-۲). فراوان‌ترین سنگ‌ها در این بخش ورلیت و دونیت غنی از آپاتیت و اکسیدهای آهن و تیتانیم بوده و به مقدار کمتر در برخی لایه‌ها به ویژه در زون MZI، دونیت فقیر از آپاتیت نیز یافت می‌شود (حدود  $۵$  تا  $۱۰$  درصد از رخنمون اولترامافیک‌ها، شکل b-۲) که به صورت ناگهانی تا تدریجی به نمونه‌های آپاتیت تبدیل می‌شوند. اولیوین فاز کومولاوی و فراوان این سنگ‌ها غنی از آپاتیت تبدیل می‌شود. آپاتیت به طور غیرعادی فراوانی قابل بوده ( $۴۰$ - $۶۶$  درصد) و معمولاً به وسیله کلینوپیروکسن (در مقادیر جزیی تا حداقل  $۱۶$  درصد) همراهی می‌شود. آپاتیت به طور غیرعادی فراوانی قابل توجیه داشته و مقدار آن تا  $۱۶$  درصد نیز ثبت شده است. پلاژیوکلاز بیشتر در نمونه‌هایی دیده می‌شود که از نزدیک همبری با گابروها برداشت شده‌اند و مقدار آن تا  $۱۵$  درصد نیز می‌رسد (اغلب  $۱$  تا  $۵$  درصد). اکسیدهای آهن و تیتانیم در این سنگ‌ها از نوع ایلمینیت (حدود  $۱۱$ - $۱۹$  درصد) و تیتانومگنتیت (حدود  $۲$ - $۱۳$  درصد) هست. کانی‌های فرعی شامل هورنبلند قهقهه‌ای تا  $۱۰$  درصد (در حاشیه واکنشی اطراف سیلیکات‌ها تا  $۱۰$  میکرون ستبر)، اسپینل هر سینیتی تا  $۱/۲$  درصد، بیوتیت به صورت میانبارها در سیلیکات‌ها تا  $۱$  درصد و کانی‌های سولفیدی مانند پیروتیت، کالکوپیریت و پتلاندیت (در مجموع حداقل تا  $۳$  درصد) است. بلورهای اولیوین بیشتر نیمه شکل دار تا شکل دار، تقریباً هم بعد تا کشیده

با گابروی درشت بلور کلینوپیروکسن بیشتری دارند (۲۲-۵۲ درصد). پلازیوکلاز در گابروها بدون زون‌بندی بوده و دوقلویی (ماکل) آلتی نشان می‌دهد. کلینوپیروکسن‌ها اغلب حاوی میانبارهای سوزنی ایلمینیت (در دو جهت) هستند. در سنگ‌های مافیک، ایلمینیت تنها اکسید آهن و تیتانیم بوده و جالب است که مگنتیت، اولیوین، آپاتیت، حتی در مقادیر ناچیز، یافت نمی‌شود. اولالتی شدن و سوسورتی شدن کلینوپیروکسن و پلازیوکلاز، به ترتیب رایج‌ترین دگرسانی در گابروها است.

### زمین‌شیمی

برای بررسی‌های زمین‌شیمیایی، نمونه‌برداری سیستماتیک از رخمنون‌های سنگی، ترانشهای اکشافی و همچنین مغزهای حفاری اکشافی (با کد BH) انجام گرفت. برای ۵۰ نمونه از واحدهای سنگی مختلف در آزمایشگاه شرکت ALS Chemex، ونکور کانادا، عناصر اصلی، جزئی و خاکی کمیاب به روش ICP-MS و ICP-AES اندازه‌گیری شد. در جدول ۲ نتایج تجزیه شیمیایی ۱۳ نمونه معرف آورده شده است.

### عناصر اصلی

الگوی تغییرات عناصر اصلی در برابر  $MgO$  (نمودارهای فر) و  $SiO_2$  (نمودارهای هارکر) به ترتیب در شکل‌های ۳ و ۴ نشان داده شده است. همان‌گونه که در شکل ۳ مشخص است، اغلب اکسیدها نسبت به  $MgO$  وابستگی خوبی نمایش می‌دهند بجز  $P_2O_5$  و  $CaO$  (نشان داده نشده) که داده‌ها دامنه تغییرات وسیعی دارند. قلیایی کل و  $SiO_2$  وابستگی منفی و  $MnO$ ،  $FeO$  و  $TiO_2$  وابستگی مثبت آشکاری با  $MgO$  نمایش می‌دهند. در پیشتر نمودارهای فر و هارکر، با توجه به ترکیب شیمیایی متفاوت، سنگ‌های اولترامافیک و مافیک به صورت اجتماع جداگانه بوده و نبود مشخصی در بین آنها وجود دارد، ضمن اینکه سنگ‌های دو رگه (BH34) در بین این دو گروه سنگی قرار می‌گیرند. نمونه‌های اولترامافیک ویژگی سنگ‌های تحول یافته مانند غنی‌شدگی از آهن کل (۴۲-۴۶ wt%  $TiO_2$ )، (۱۱-۲۶ wt%  $FeO$ ) و (۵-۷٪  $P_2O_5$ ) (تا ۱/۵ wt%  $X_{Fe}$ ) نشان دهدند. این سنگ‌ها به طور غیرعادی  $SiO_2$  (۳۰-۳۱ wt%) و  $K_2O$  (۸/۸-۹/۸ wt%) داشته ولی مقدار  $MgO$  در آنها بالاست (۰/۰۱-۰/۴۹ wt%). تمام نمونه‌های اولترامافیک در نمودار AFM (شکل ۵) به موازات خط  $TiO_2 - Fe_2O_3 - MgO$  (۰/۰۱-۰/۴۹ wt%) آرایش یافته‌اند. در نمودار  $Fe_2O_3^{tot} + TiO_2 - MgO$  (شکل ۶) اولترامافیک‌ها، روند خطی بارز و آرایشی تقریباً "موازی با خط  $Fe/Ti = ۴$  دارند که نشان‌گر نسبت‌های تقریباً برابر ایلمینیت به مگنتیت در پیشتر نمونه‌هاست. تغییرات خطی عناصر اصلی در سنگ‌های مافیک به وسیله

۳ سانتی‌متر سطرا (شکل ۲-۴) که این نسل بیشتر از مگنتیت تشکیل یافته است. نسبت ایلمینیت به مگنتیت اغلب حدود ۰-۴ (در محدوده ۸/۵-۱/۵) اندازه‌گیری شده است. بلورهای ایلمینیت در اندازه‌های ۰/۱ تا ۲ میلی‌متر بوده و بیشتر آنها حاوی ذرات و میانبارهای همایت ریز و عدسی مانند هستند. این میانبارها در سطوح [0001] آرایش یافته‌اند و می‌توان میزبان آنها را هموایلمینیت (Hemo-ilmenite) نامید. بلورهای مگنتیت به مقدار قابل توجه دارای تیغه‌های ایلمینیت در سطوح [111] بوده (تیتانومگنتیت) و طیفی از ریز بافت‌های اکسلوشن را نشان می‌دهند. در اغلب تیتانومگنتیت‌ها ریز بافت نوع ترلیس (Trellis) در اندازه‌های مختلف (شکل ۲e-f) غالب بوده، ولی انواع مرکب (Composite) و ساندویچی نیز دیده می‌شود (بر اساس اصطلاحات، Buddington & Lindsley, 1964) از سوی دیگر طبق مراحل بافتی ناشی از پیشرفت اکسایش (Haggerty, 1991)، این بلورها در مراحل C3 تا C2 بوده و فاقد تیغه‌های الیوت (Ulvite) هستند. تیتانومگنتیت علاوه بر تیغه‌های ایلمینیت، دارای اکسلوشن اسپینل هرسینی پراکنده در داخل و یا حاشیه غنی از اسپینل در مرز دانه‌های ایلمینیت با تیتانومگنتیت است (شکل ۲e). بر اساس شواهد میکروسکوپی تیتانومگنتیت تأخیری تر از ایلمینیت است. بافت کانی‌سازی اکسیدهای آهن و تیتانیم به شکل پراکنده (disseminate) و شبکه‌ای (net-texture) بوده و کانی‌سازی توده‌ای یا لایه‌ای با عیار بالا یافت نمی‌شود. بر اساس رده‌بندی Karkkainen et al. (1997) کم عیار (با ۴-۹ درصد وزنی) محسوب می‌شود. کانی‌های سولفیدی (اغلب پیروتیت) نیز در سه نسل میانبار، بین بلوری و رگچه‌های تأخیری همراه با مگنتیت یافت می‌شوند. روابط بافتی حاکی از این است که اولیوین و آپاتیت فازهای اولیه در سکانس توالی تبلوری بوده و به وسیله کلینوپیروکسن، ایلمینیت، تیتانومگنتیت، اسپینل و کانیهای سولفیدی دنبال می‌شوند. در مقاله حاضر، نمونه‌های اولترامافیک که حاوی بیگانه سنگ‌های پلازیوکلاز قابل توجهی هستند، سنگ‌های دو رگه یا هیبرید (hyb) خوانده می‌شوند.

### سنگ‌های مافیک

این سنگ‌ها اغلب مجموعه کانیایی ساده‌ای (Plg-Cpx-IIm) دارند که مقدار آنها در گابروی درشت بلور و میکروگابروها متفاوت است (جدول ۱). در این بخش ارتوآمفیبولیت به طور محلی رخمنون دارد که در بررسی‌های میکروسکوپی حاوی پلازیوکلاز، هورنبلند سبز و ایلمینیت به صورت باندهای تیره و روشن است. گابرو درشت بلور سنگ فراوان در بخش مافیک بوده و حاوی پلازیوکلاز نیمه شکل دار (۷۸-۴۲ درصد)، کلینوپیروکسن (۴۲-۷۸ درصد)، ایلمینیت (۵/۰-۷/۵ درصد) است. میکروگابروها اغلب در مقایسه



سنگ‌های مختلف توده قره‌آغاج در شکل ۹ آورده شده است که در واقع یک چینه‌بندی دروغین (pseudo-stratigraphy) را نمایش داده و الگوی پراکنده‌گی REE را در سنگ‌های مختلف به صورت مقایسه‌ای نشان می‌دهد. الگوهای بهنجار شده کندریتی و ترکیب گوشته اولیه برای نمونه‌های مافیک تا حدود زیادی مشابه یکدیگر است، اگرچه در جزئیات تفاوت‌هایی را نشان می‌دهد (شکل ۹). بیشتر این نمونه‌ها در مقایسه با اولترامافیک‌ها (Eu/Eu<sup>\*</sup> = ۱/۲-۳/۷)، بی‌هنجری Eu مثبت (Eu/Eu<sup>\*</sup> = ۲/۶-۱۳) و فراوانی REE کمتری (ΣREE=۱۹-۵۷ ppm) دارند.

گرانیت‌های میلونیتی (سنگ درونگیر) همان‌گونه که در شکل ۹ مشخص است دارای بی‌هنجری Eu منفی (Eu/Eu<sup>\*</sup> ~۰/۶)، شکل تحدب رو به بالا، نسبت بالای LREE/MREE (La<sub>N</sub>/Sm<sub>N</sub> ~۵/۵) بوده و در مجموع روند عمومی الگوی REE سنگ‌های مافیک-اولترامافیک توده قره‌آغاج راقطع می‌کنند.

### بحث و نتیجه‌گیری

بر اساس شواهد صحرایی، سنگ‌نگاری و ترکیب شیمیایی، سنگ‌های مختلف بخش مافیک با مجموعه کانیایی ساده، شباهت زیادی با یکدیگر داشته و هم‌ماگما محسوب می‌شوند. تفاوت در ترکیب این سنگ‌ها بیشتر ناشی از تفاوت در ترکیب مдал بویژه کلینوپیروکسن و پلازیوکلاز بوده و تفاوت‌های بافتی ناشی از دگرشکلی و دگرگونی است. میکروگابروها را با توجه به مقادیر بالاتر Ni, Cr, MgO (جدول ۲) می‌توان به عنوان ترکیب ماگمای مادر بخش مافیک به شمار آورد. از سوی دیگر، میکروگابروها را با توجه به مقدار Eu/Eu<sup>\*</sup> (~۱) (Markel, 2001) به عنوان مذاب جامد شده (Frozen melt) و گابروهای درشت بلور را (Eu/Eu<sup>\*</sup> > ۱) انباست.

(accumulation) پلازیوکلاز در نظر گرفت.

ارتباط بخش مافیک با سنگ‌های اولترامافیک (FTP) در توده قره‌آغاج موضوعی بحث انگیز است. با توجه به شواهدی چون (۱) ارتباط صحرایی بسیار نزدیک؛ (۲) غنی شدگی از عناصر ناسازگار با پلازیوکلاز و بی‌هنجری منفی Eu (شکل ۹) و (۳) روند تقریباً موازی الگوی REE برای سنگ‌های دو بخش می‌توان به عنوان یک فرضیه، سنگ‌های FTP را مشتق از ماگمای مادر گابرویی دانست. بر اساس این سناریو این سنگ‌ها نتیجه تفرقی شدید پلازیوکلاز و به عبارتی ناشی از مذاب باقی مانده پس از جدایش پلازیوکلاز هستند، به گونه‌ای که سنگ‌های FTP قادر بوده‌اند پس از تبلور گابروها به درون سنگ‌های میزان نیمه جامد تا جامد نفوذ کنند. وجود بیگانه سنگ گابرویی و بیگانه بلورهای پلازیوکلاز (شکل ۲) و به مقدار کمتر کلینوپیروکسن در FTP نشانه‌ای از ماهیت نفوذی و تقریباً تأخیری این سنگ‌ها نسبت به میزان گابرویی است.

توزیع پلازیوکلاز و کلینوپیروکسن کنترل شده و در بیشتر نمودارها انواع سنگ‌های مافیک شامل گابروی دانه‌ای میکروگابرو و ارتوآمفیبولیت‌ها در یک محدوده نزدیک به هم واقع می‌شوند (شکل‌های ۳ و ۴).

### عناصر جزئی و کمیاب

مقدار Cr و Ni در توده قره‌آغاج به طور عمومی پایین است و به طرز جالی در نمونه‌های اولترامافیک مقدار Cr (۴۰-۱۶۰ ppm) و Ni (۷-۷۳ ppm) حتی در مقایسه با انواع مافیک (Cr: ۱۰-۳۴۰ ppm و Ni: ۱۱-۱۱۴ ppm) به طور نسبی پایین‌تر است. با توجه به تجزیه مдал (جدول ۱) بیشتر به وسیله کلینوپیروکسن کنترل می‌شود. عنصر V در اولترامافیک‌ها (۲۹۸-۸۵۸ ppm) در مقایسه با انواع مافیک (۶۲-۱۹۸ ppm) بالاتر بوده و آشکارا با TiO<sub>2</sub> (ایلمنت و تیتانومگنتیت) همبستگی نشان می‌دهد. و اندیم تنها عنصر جزئی است که به خوبی سنگ‌های مافیک را از اولترامافیک جدا می‌کند (شکل ۷). Sr و Rb در نمونه‌های اولترامافیک در مقایسه با مافیک‌ها به طور آشکار پایین‌تر است و در این میان مقدار بالای Sr در گابرو می‌تواند با جانشینی به جای Ca پلازیوکلاز مرتبه باشد. مقادیر Hf, Cs, W, Sn, Th و U در اغلب نمونه‌ها کمتر از حد آشکارسازی (۰/۵-۱ ppm) است. همان‌گونه که در شکل ۸ نشان داده شده است، عنصر Ga با Al<sub>2</sub>O<sub>3</sub> وابستگی نشان نمی‌دهد، ویژگی که به عقیده Dymek (1990) خاص‌تمام سنگ‌های آنورتوریت توده‌ای می‌باشد. عناصر Ta, Y, Zr, Nb در سنگ‌های اولترامافیک به نسبت بالاتر بوده و به طور ضعیفی با TiO<sub>2</sub> و Fe<sub>2</sub>O<sub>3</sub> (مشارکت در اکسیدهای آهن و تیتانیم) وابستگی مثبت نشان می‌دهند.

نمودارهای بهنجار شده کندریتی برای انواع سنگ‌های توده قره‌آغاج در شکل ۹ نشان داده شده است. همان‌گونه که در شکل ۹ مشخص است، الگوی REE برای اولترامافیک‌های غنی از آپاتیت به صورت یکنواخت و یک شکل است. این الگو تقریباً به سمت پایین داشته و اغلب غنی شدگی از LREE (La<sub>N</sub>/Sm<sub>N</sub> = ۱۰-۱۴) و La<sub>N</sub>/Yb<sub>N</sub> = ۱۰-۱۴) Eu نشان می‌دهد. در بیشتر این نمونه‌ها، برای LREE تفرقی یافتگی چندانی از Nd به Lu مشاهده نمی‌شود. نمونه‌های اولترامافیک فقیر از آپاتیت (مثل TM16) برخلاف انواع غنی از آپاتیت، فراوانی REE کمتری داشته (۱۰-۴۸ ppm) و الگوی پهن‌تر و کم‌شیب‌تر دارند. این نمونه‌ها بی‌هنجری Eu نداشته یا به طور ضعیف نشان می‌دهند (Eu/Eu<sup>\*</sup> = ۰/۸-۱/۳)، با این حال شکل کلی الگوی REE آنها تقریباً موازی انواع غنی از آپاتیت است. اولترامافیک‌های فقیر از آپاتیت در نمودار بهنجار شده کندریتی نسبت به انواع غنی از آپاتیت در سطح پایین‌تری قرار گرفته و فراوانی HREE در آنها نزدیک به مقدار کندریت‌ها (شکل ۹) است. مقادیر بهنجار شده

در ترکیب شیمیایی این دو نوع سنگ ناشی از حضور آپاتیت (محزن LREE) است. با توجه به همراهی این سنگ‌ها و گذر تیز (ناگهانی) تا تدریجی آنها به همدیگر، شباهت کلی الگوی REE (شکل ۹) و شباهت در ترکیب شیمیایی بجز در مقدار  $P_2O_5$  (جدول ۲)، می‌توان منشأ تمام اولترامافیک‌ها را از یک منبع ماقمایی مشابه ولی ناشی از پالس‌های متفاوت در نظر گرفت.

با توجه به بررسی‌های صورت گرفته، سنگ‌های FTP قره آغاج به طرز جالبی با انواع مختلف این سنگ‌ها از مناطق دیگر دنیا دارای تفاوت‌هایی هستند. مقدار بالای اولیوین،  $MgO$  سنگ کل بالا، نسبت قابل توجه ایلمینیت به مگنتیت، میزان گابروبی با ترکیب کانیایی ساده و فقیر از اکسیدهای Fe-Ti، وجود لایه‌ها و توده‌های سیل مانند موازی به تعداد زیاد، لایه‌بندی ماقمایی، نبود ارتوپیروکسن و پلازیوکلاز اولیه، فقدان سنگ‌های نلسونیتی، فرودیوریت، آنورتوزیت‌های توده‌ای و وجود سنگ‌های غنی از آپاتیت و فقیر از آن در یک رخمنون با فاصله بسیار نزدیک از جمله این تفاوت‌هاست. بر اساس شواهد کانی‌شناسی، بافتی و ترکیب شیمیایی، سنگ‌های FTP در قره آغاج از میان انواع FTP شناخته در دنیا، دارای شباهت نسبی با سنگ‌های اولترامافیک غنی از اکسید و آپاتیت منطقه Boulder Lake در کمپلکس Duluth (Ripley et al., 1998) (Von Gruenwaldt, 1993)، سنگ‌های کومولایی غنی از اولیوین و ایلمینیت-آپاتیت با بافت شبکه‌ای (net-texture) در زون بالایی کمپلکس بوشولد (Force, 1991) San Gabriel (Ripley et al., 1998; Markel, 2001; Dymek & Owen, 2001). اگر چه تفاوت‌ها در حدی است که سنگ‌های FTP توده قره آغاج را می‌توان به عنوان یک گونه جدید از سنگ‌های FTP معرفی کرد.

به رغم همه فرضیه‌های مطرح شده برای منشأ و همچنین سازوکار تمرکز اکسیدهای Fe-Ti ( $\pm$  آپاتیت)، هنوز نحوه تشکیل این سنگ‌ها چندان شناخته نشده است (Ripley et al., 1998; Zhou et al., 2005). از این میان اگر چه ناآمیختگی مایعات سازوکار عمومی تر و جذابی است ولی متأسفانه جزئیات این سازوکار نیز با ابهام‌های زیادی همراه است. عملکرد فرایندهای غنی شدگی مذاب باقی‌مانده همراه با ناآمیختگی مایعات ممکن است برای تشکیل ذخایر اکسید یا اکسید-آپاتیت خالص مناسب باشد (Duchesne, 1999)، ولی برای تشکیل سنگ‌های FTP ناخالص مانند توده قره آغاج کافی و قانع کننده نیست. از سوی دیگر وجود مذاب‌های ناآمیخته غنی از Fe-Ti هنوز به وسیله مطالعات تجربی ثابت نشده است (Lindsley, 2001). به طور کلی غنی شدگی از  $TiO_2$ ,  $FeO$  و  $P$  در ماقمایی می‌تواند ناشی از ترکیب منشأ گوشه‌ای بوده یا به شرایط خاصی از ذوب بخشی منشأ مربوط بوده و یک ویژگی ماقمایی اولیه محسوب شود (Zhou, 2005).

در یک جمع بندی می‌توان گفت ماقمایی FTP در توده قره آغاج با توجه

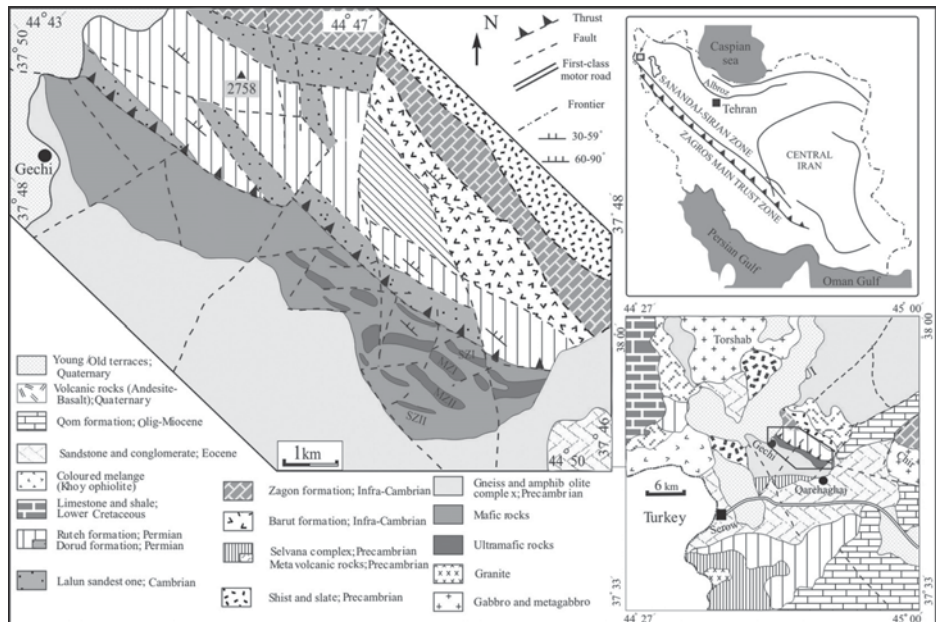
از سوی دیگر با قبول سناریوی مطرح شده یعنی ارتباط مستقیم گابروها و سنگ‌های FTP (هم ماقمایی) سوالات و تضادهایی مطرح می‌شود. با توجه به شواهدی چون: ۱) تفاوت مجموعه کانیایی آشکار بین این دو گروه سنگی مانند نبود اولیوین، آپاتیت و مگنتیت حتی در مقادیر اندک در گابروها و نبود پلازیوکلاز اولیه در سنگ‌های FTP (جدول ۱)؛ ۲) پاراژنر ایلمینیت+مگنتیت در بخش FTP در مقایسه با وجود ایلمینیت به عنوان تها کانی اکسید آهن و تیتانیم در گابروها (جدول ۱)؛ ۳) فراوانی پایین REE و بی‌هنجری Eu ضعیف (یا بدون بی‌هنجری) در سنگ‌های اولترامافیک فقیر از آپاتیت در مقایسه با گابروها و ۴) نبود سنگ‌های با ترکیب حدواسط به خوبی آشکار می‌شود که فرایندهای شناخته شده قادر به توضیح این تضادها نیستند. از این رو به نظر می‌رسد شرایط تبلور و تکامل ماقمایی متفاوتی (مانند تفاوت در ترکیب ماگما یا طیف متفاوتی از  $O_2$ ) برای تضادهای مطرح شده در توده قره آغاج مورد نیاز است. شاید بتوان گفت که ماقمایی سازنده سنگ‌های FTP از یک منشأ جداگانه و بدون ارتباط مستقیم زایشی با گابروها حاصل شده‌اند. با قبول این فرض آرایش لایه‌ای و سیل مانند سنگ‌های FTP به صورت هم‌شب و موادی در داخل میزان به احتمال زیاد ناشی از نفوذ مذاب به درون گابروهای جامد شده یا در حال تبلور در طی دگرگشکلی پلاستیک دما بالا در یک زون برشی محلی است. وجود لایه‌بندی ماقمایی در سنگ‌های FTP (ناشی از جریان ماقمایی یک توده حاوی بلورهای پیشرس با خمیره مذاب) نیز با چنین فرضی سازگار است. شواهد سنگ نگاری نشان می‌دهد که در سنگ‌های FTP توده قره آغاج ایلمینیت اکسید Fe-Ti فراوان بوده و بیشتر به صورت دانه‌های مجزا است. این وضعیت، به تنها بی نشان دهنده شرایط  $fO_2$  نسبتاً پایین است. با این وجود علاوه بر مقادیر بالای  $TiO_2$  و  $FeO$  در ماگما نیز عامل کنترل کننده مهمی برای پاراژنر ایلمینیت و تیتانومگنتیت است، زیرا مقدار بالای  $P_2O_5$  در ماگما می‌تواند سبب محدود شدن تبلور مگنتیت در مقایسه با ایلمینیت شود (Toplise, 1994; Zhou et al., 2005).

از سوی دیگر، فسفر می‌تواند اتحلال پذیری اکسیدهای آهن و تیتانیم در مذاب سیلیکاته را متاثر کرده و مانع از اشباع شدن مذاب از این اکسیدها و در نتیجه تشکیل ذخایر عیار بالا شود (Toplise, 1994; Zhou et al., 2005) (رخدادی که در توده قره آغاج صورت گرفته و کانی‌سازی در آن به شکل پراکنده و شبکه‌ای و نه توده‌ای یا لایه‌ای است).

در بخش اولترامافیک بیشتر رخمنون‌ها غنی از آپاتیت بوده و انواع فقیر از آپاتیت حدود ۵-۱۰ درصد این بخش را شامل می‌شوند. این سنگ‌ها  $MgO$  بالا و  $\Sigma REE$  پایینی داشته و تمرکز MREE, HREE در آنها نزدیک به مقادیر کندریت‌ها است (شکل ۹). از این رو به نظر می‌رسد سنگ‌های فقیر از آپاتیت در مقایسه با انواع غنی از آپاتیت، اولیه‌تر (کمتر تفریق یافته) هستند. بیشتر تفاوت

ایزوتوپی می‌تواند در خصوصیات پاسخ به برخی پرسش‌ها از جمله میزان مشارکت گوشت و پوسته در ترکیب ماقمایی مادر و عملکرد فرایندهایی مانند آلدگی و اختلاط ماقمایی مفید باشد. با این وجود به نظر می‌رسد مطالعات تجربی بیشتری درباره سازوکارهای جدایش مایعات غنی از  $\text{Fe}-\text{Ti}-\text{P}$  و تأثیر فسفر و  $fO_2$  در روند تفریق مذاب‌های فروبازلتی مورد نیاز است تا در خصوصیات منشاء، تکامل و جایگیری سنگ‌های FTP فرضیه‌های قابل قبولی ارائه شود.

به ترکیب شیمیایی از جمله مقدار پایین Ni و Cr و مقادیر بالای Fe, Ti و P یک ماقمای تحويلی یافته و نه اولیه است که می‌تواند از یک ماقمای مادر فروبازلتی غنی از P با تحول (تفریق) اولیه در یک سامانه باز در عمق حاصل شده باشد. بی‌هنگاری مثبت  $\text{Nb}, \text{Ti}$ ، بی‌هنگاری منفی  $\text{Zr}$  (شکل ۹) و همچنین مقادیر اندک U, Th و Hf در سنگ‌های FTP قره‌آغاج (جدول ۲) نشانه‌ای از عدم آلایش ماقمای مذکور با پوسته بالایی است. بدینهی است داده‌ای



شکل ۱- نقشه زمین‌شناسی توده نفوذی قره‌آغاج (با تغییر، اقتباس از Haghipour & Aghanabati, 1973)

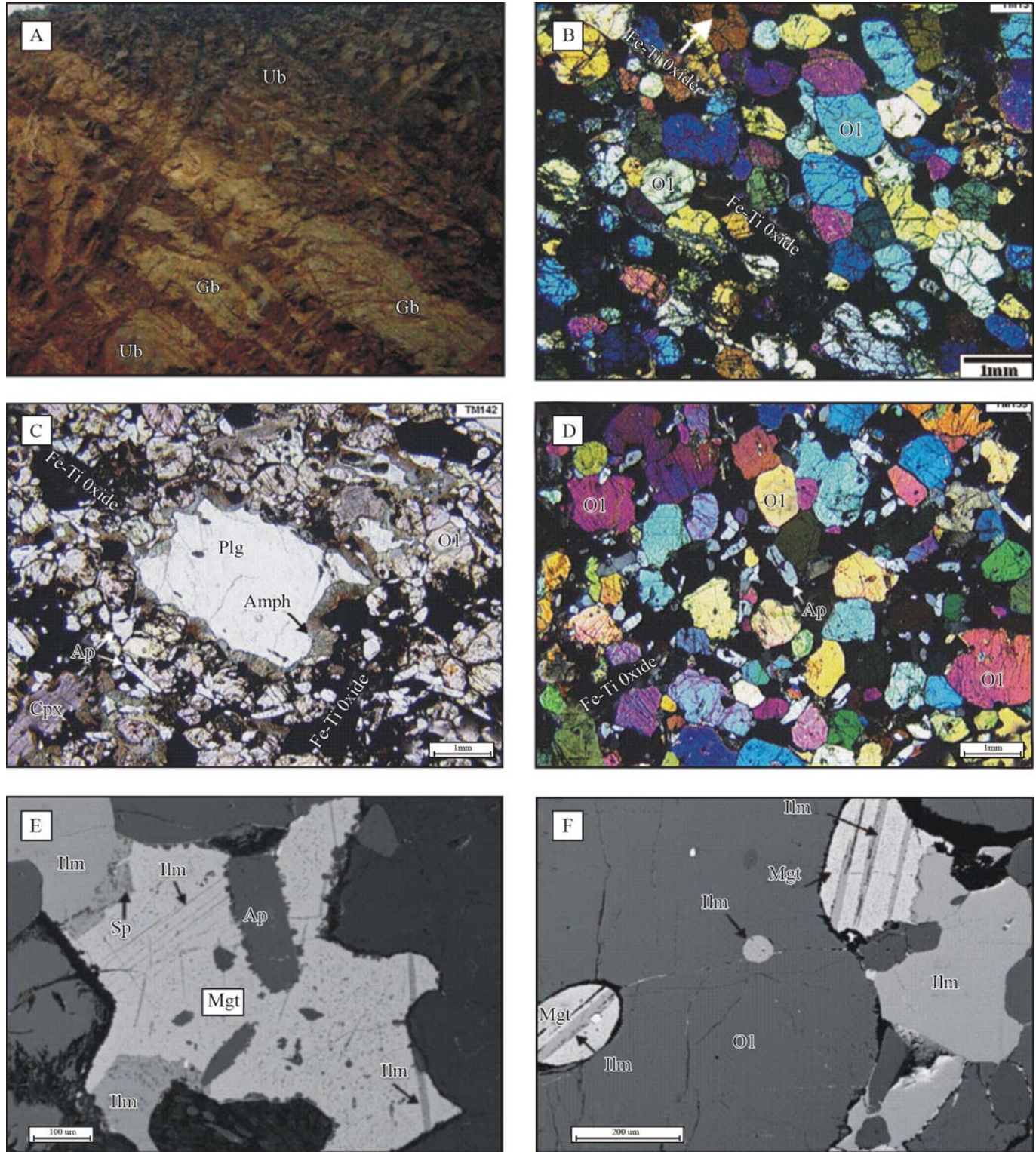
جدول ۱- ترکیب مدار برای نمونه‌های معرف توده قره‌آغاج.

Rock type	ox-ub		ap-ox-ub						hyb	mgb	cgb	cgb		
	Sample o.	TM16	TM62	TM17	TM46	TM61	TM65	TM134	TM138	TM147	BH2-34	BH1-14	TM18	TM35
Olivine	61.5	46.3	45.6	53.8	54.5	58.4	46	51.75	52	32.6				
Clinopyroxene		12.2	17.2	9.6	3.9	4.2	15.5	4.8	4.4	5.8	45.7	20.3	18	
Apatite	0.1	T	12.3	12.7	16.2	13	13.5	12.7	13	12.7				
Hercynite	0.5	0.9	0.5		0.6	1.2	0.5	0.2	0.3	0.2				
Plagioclase	1.3	11.8			T				2.3	25.5	38.2	66	74.3	
Hornblende	4.5	6.8	1.5	1.5	2.8	2.2	2.3	2	3	7.1				
Serpentine	5.5				0.5			2.4	0.5					
Termolite-Actinolite	1.8									9.8	4.3	3.7		
Chlorite									0.4	3.6	1.2	0.5		
Biotite			0.1	0.1	0.1	0.3	0.2	0.5	0.5					
Total non opaque	75.2	79	77.2	78.2	78.1	79.3	78	74.3	76.4	87.5	94.9	94.6	96	
Ilmenite	18	18.8	11.8	11.4	13.8	16.3	15	15.5	16.8	9.2	4.9	5.4	4	
Magnetite	6.4	2.2	11	10.4	8.1	4.4	7	7.9	4.5	2.1				
sulfide	0.4		T	T	T	T	T	2.3	2.3	1.2	0.2			
Others														
Total opaque	24.8	21	22.8	21.8	21.8	20.7	22	25.7	23.6	12.5	5.1	5.4	4	

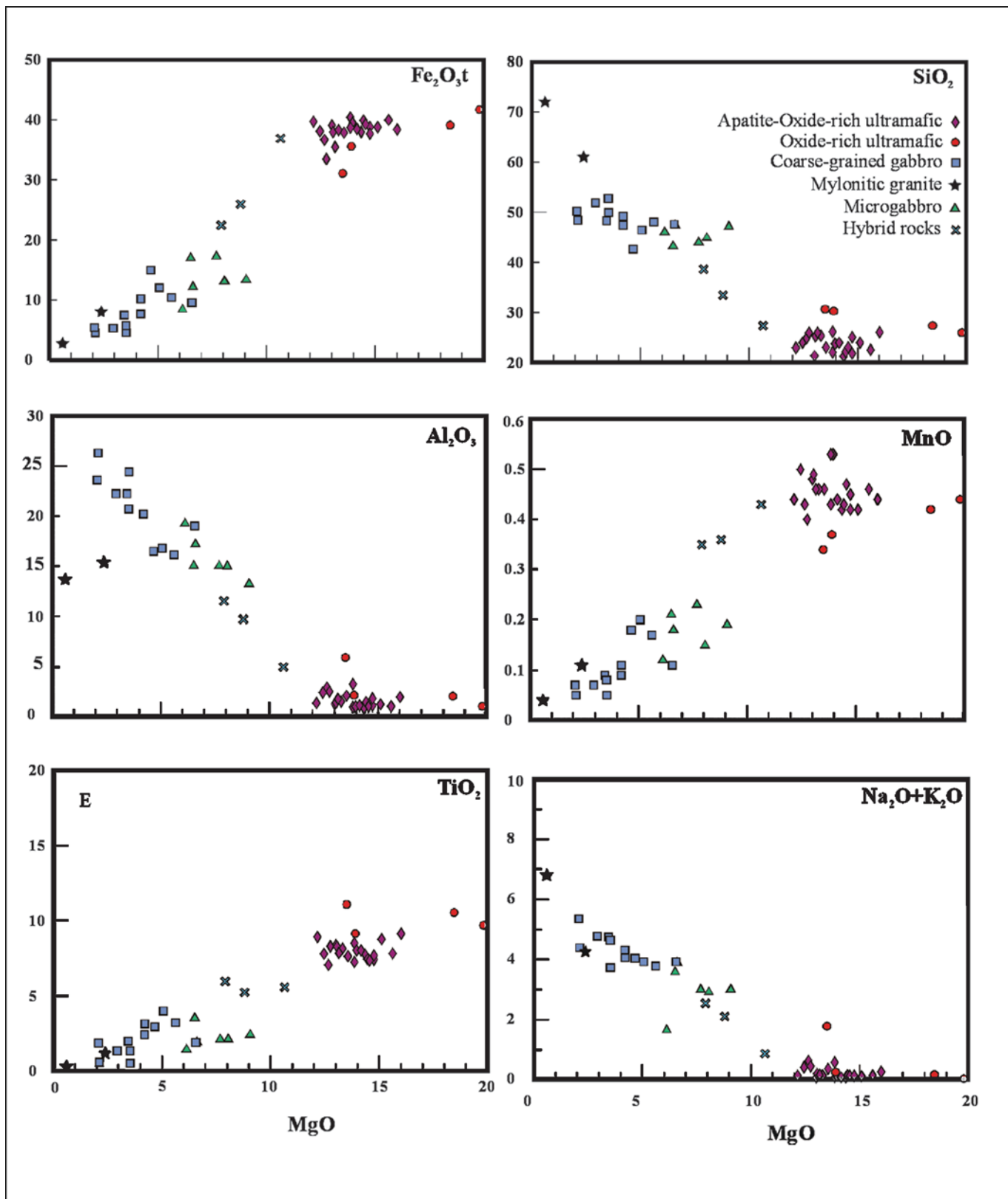
ub= اولترامافیک فقیر از آپاتیت، ap-ox-ub= اولترامافیک‌های غنی از آپاتیت، hyb= سنگ‌های هیرید، mgb= میکروگابرو، cgb= گابروی درشت بلور، T= مقادیر جزئی

جدول ۲- غلظت عناصر اصلی، جزیی و نادرخاکی برای نمونه‌های معرف توده قره‌آغاج

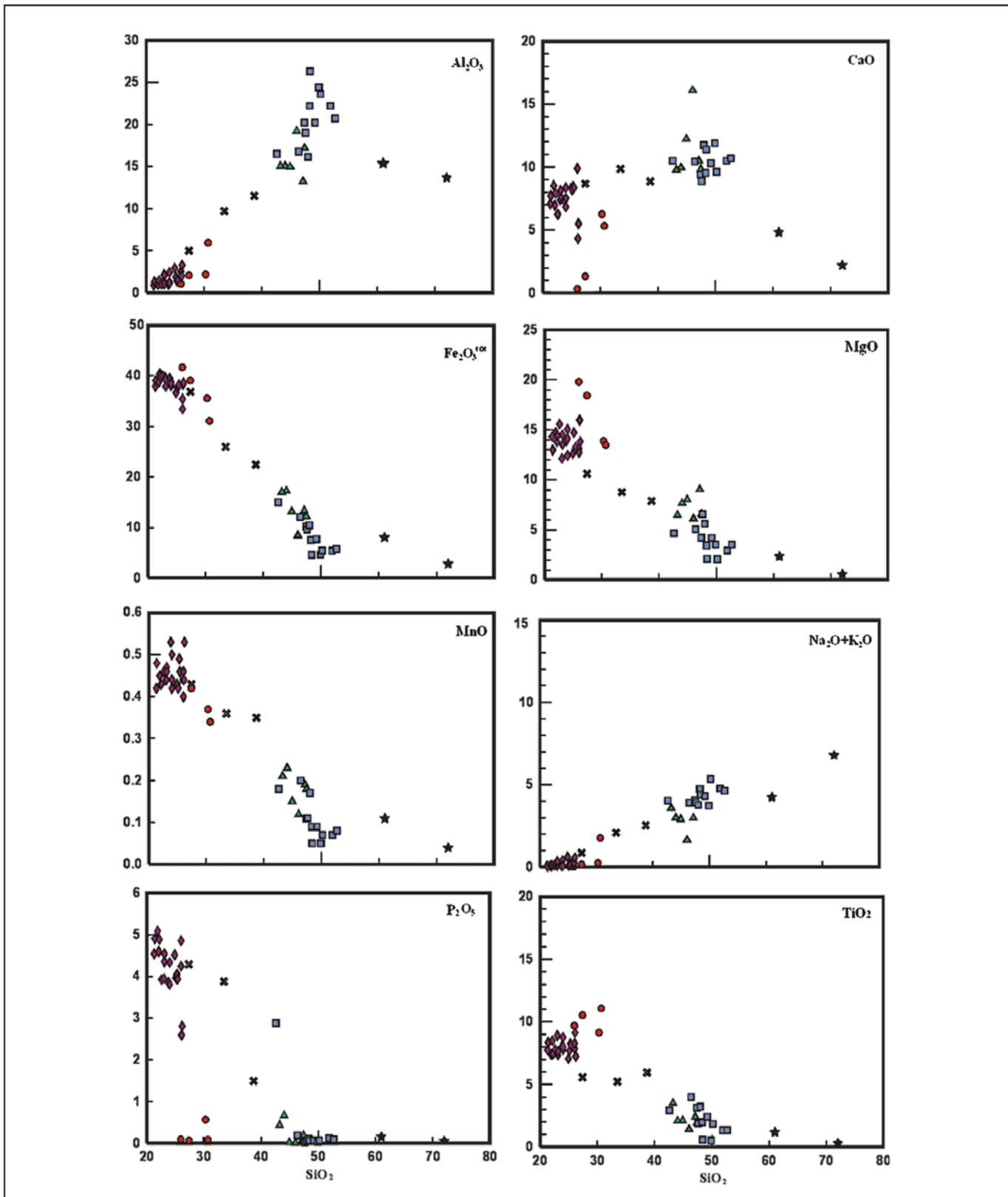
Rock Type	ox-ub								ap-ox-ub				hyb		mgb	cgb	cgb
	TM16	TM17	TM46	TM61	TM65	TM134	TM138	TM140	TM147	BH2-34	BH1-14	TM18	TM35				
SiO <sub>2</sub>	27.4	25.1	26	22.1	24	25.4	22.6	22.2	23.1	33.5	44.9	47.4	49.2				
TiO <sub>2</sub>	10.55	7.7	7.87	8.52	8.78	8.16	7.82	7.45	7.65	5.25	2.13	3.14	2.41				
Al <sub>2</sub> O <sub>3</sub>	2.11	1.89	1.85	1.04	1.3	1.59	1.1	1.51	2.16	9.73	15	20.2	20.2				
Fe <sub>2</sub> O <sub>3</sub> <sup>t</sup>	39.1	37.7	35.5	40.4	38.8	38.3	40	39.9	37.9	26	13.15	10.2	7.7				
MnO	0.42	0.42	0.46	0.43	0.42	0.46	0.46	0.43	0.46	0.36	0.15	0.11	0.09				
MgO	18.45	14.75	13.15	13.85	15.1	13.3	15.6	14.45	13.55	8.8	8.05	4.21	4.2				
CaO	1.33	8.21	9.89	6.98	6.86	8.4	6.27	7.95	8.16	9.87	12.25	9.4	10.3				
Na <sub>2</sub> O	0.14	0.13	0.15	0.08	0.1	0.13	0.12	0.12	0.32	1.87	2.74	3.78	3.88				
K <sub>2</sub> O	0.04	0.01	0.02	0.02	0.02	0.02	0.03	0.03	0.05	0.24	0.18	0.28	0.43				
P <sub>2</sub> O <sub>5</sub>	0.07	3.97	4.25	4.6	3.81	3.94	3.93	4.89	4.54	3.88	0.02	0.06	0.07				
Ba	18.3	20	11.7	11.6	8.6	12.2	10.6	10.4	19.6	113	46.5	169	198				
Nb	27	14	18	24	21	18	24	23	29	22	2	8	6				
Rb	0.7	0.3	0.3	0.7	0.5	0.4	0.5	0.6	0.6	1.6	1.7	2.2	5.3				
Cs	0.1	0.1	0.1	<0.1	<0.1	0.1	0.1	0.1	0.1	0.2	1.1	1.1	0.2				
Sr	22.3	85.4	85.6	92.1	74.7	77.6	73.4	99.4	129.5	375	293	754	730				
Y	2.2	41.5	42.6	55	36.9	45.4	40.7	53.1	54.7	48.4	21.3	5.6	7.3				
Zr	41.1	32.1	38.2	40.5	35.7	41.6	40.8	39.4	51.9	33.5	25.5	21.5	21.3				
V	653	808	500	547	588	612	444	298	495	301	368	300	224				
Cr	140	90	70	60	70	80	50	60	70	40	340	70	40				
Ni	12	7	19	8	9	52	46	48	41	27	114	41	26				
Co	93.1	81.9	61.7	75.6	83.8	65.5	100	97.3	92.7	59	47.2	38.2	24.8				
Zn	281	268	244	271	242	269	231	231	249	185	94	74	60				
Ga	10	13	12	10	10	12	8	10	11	15	17	20	19				
Sn	1	1	<1	1	<1	1	<1	<1	<1	1	1	1	<1				
Th	<1	<1	<1	<1	<1	<1	<1	<1	<1	<1	<1	<1	<1				
U	<0.5	<0.5	<0.5	<0.5	<0.5	<0.5	<0.5	<0.5	<0.5	<0.5	<0.5	<0.5	<0.5				
Hf	1	1	1	1	1	1	1	1	1	1	1	1	1				
Ta	2.3	1.2	1.5	2.1	1.9	1.6	2	1.9	2.3	1.6	<0.5	0.7	0.5				
W	<1	1	1	1	<1	<1	<1	<1	<1	1	1	1	1				
La	5.5	41.2	29.4	52.9	30.3	39.1	22.9	40.4	43.6	45.6	8.9	7.3	6.7				
Ce	2.5	82.4	74.6	117.5	72.1	89.1	81	107	108.5	103	6.1	7.5	7.3				
Pr	0.3	12	11.4	16.7	10.6	12.7	12.3	16.6	17	14.6	1.2	1	1.1				
Nd	1.7	62.7	59	82.6	54.1	65.2	60.4	80.5	81.1	71.4	7.7	4.6	5.4				
Sm	0.4	14.8	14.2	19.2	13	15.9	13.8	18.3	18.2	16.4	2.7	1.2	1.5				
Eu	0.2	3.1	3.2	4.2	2.9	3.5	3.3	4	4.5	4.3	1.1	1	1.1				
Gd	0.5	13.6	13.6	18.8	12.4	15	14	18	18.7	15.8	3.4	1.2	1.6				
Tb	0.1	1.8	1.8	2.5	1.6	2	1.9	2.5	2.7	2.1	0.7	0.2	0.3				
Dy	0.4	8.3	8.6	11.6	7.9	9.6	8.7	11.2	11.8	10.2	3.7	1	1.4				
Ho	0.1	1.6	1.6	2.1	1.4	1.8	1.5	2	2.1	1.8	0.8	0.2	0.3				
Er	0.2	3.8	3.9	4.9	3.4	4.3	4	4.8	5.4	4.6	2.2	0.7	0.7				
Tm	<0.1	0.4	0.4	0.5	0.3	0.4	0.4	0.5	0.6	0.4	0.3	0.1	0.1				
Yb	0.3	2.1	2.1	2.8	1.8	2.4	2.2	2.6	3	2.5	1.9	0.4	0.6				
Lu	<0.1	0.3	0.2	0.4	0.2	0.3	0.3	0.4	0.4	0.3	0.3	0.1	0.1				
Eu/Eu*	1.37	0.67	0.7	0.68	0.7	0.69	0.73	0.67	0.75	0.82	1.11	2.55	2.17				
(La) <sub>N</sub> /(Sm) <sub>N</sub>	8.89	1.8	1.34	1.78	1.5	1.59	1.07	1.43	1.55	1.8	2.13	3.93	2.88				
(La) <sub>N</sub> /(Yb) <sub>N</sub>	13.19	14.08	10.04	13.55	12.07	11.68	7.47	11.15	10.42	13.08	3.36	13.11	8.01				
XFe	0.68	0.72	0.73	0.74	0.72	0.74	0.72	0.73	0.74	0.75	0.62	0.71	0.65				



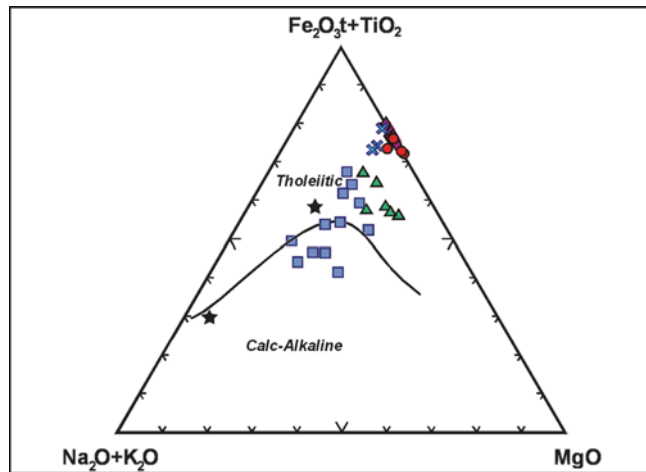
شکل ۲- عکس صحرایی از تناب موازی و همبُری ناگهانی سنگ‌های اولترامافیک (Gb) و مافیک (Ub) در توده قره‌آجاج (A). ویژگی‌های بافتی و مجموعه کانیایی سنگ‌های FTP توده قره‌آجاج (B-D)، تصاویر BSE از اکسیدهای آهن و تیتانیم در سنگ‌های FTP توده قره‌آجاج (E-F). تصاویر B و D در نور قطبیده (پلازیزه) و تصویر C در نور ساده. Ol = اولیوین، Am = امفیبول، Plg = پلازیوکلاز، Ap = آپاتیت، Cpx = کلینوپیروکسن، Ilm = ایلمنیت، Mgt = مگنتیت، Sp = اسپنیل



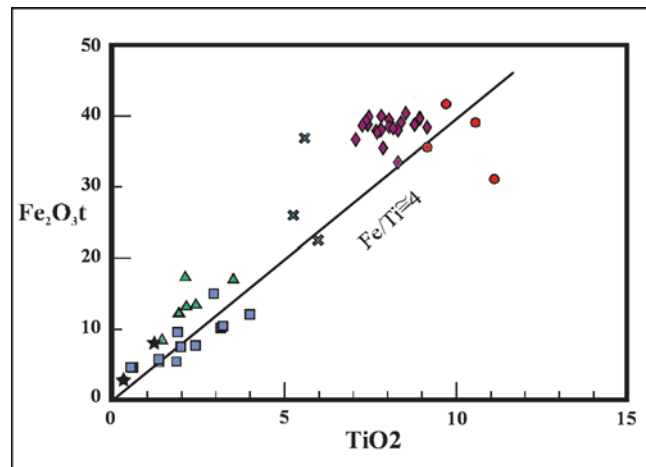
شکل ۳- نمودارهای فنر (Fenner) برای نمونه‌های برداشت شده از توده قره‌آغاج



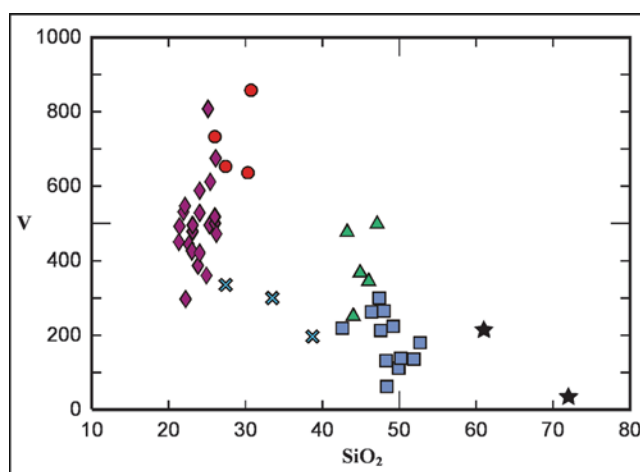
شکل ۴- نمودارهای هارکر (Harker) برای نمونه‌های برداشت شده از توده قره‌آغاج (علام مشابه شکل ۳)



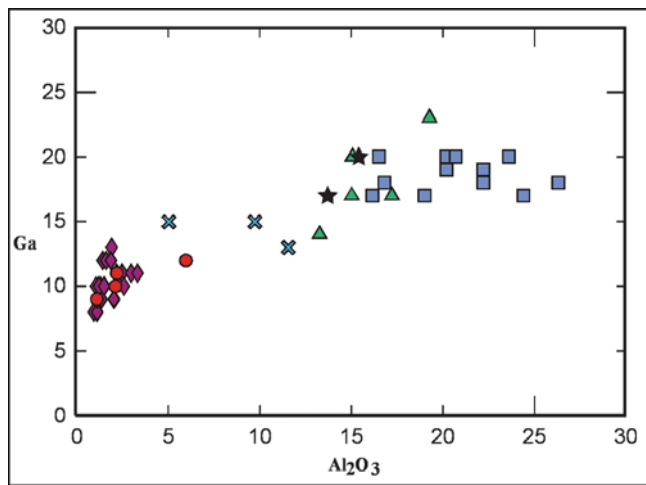
شکل ۵- نمودار AFM برای نمونه‌های برداشت شده از توده قره آغاج



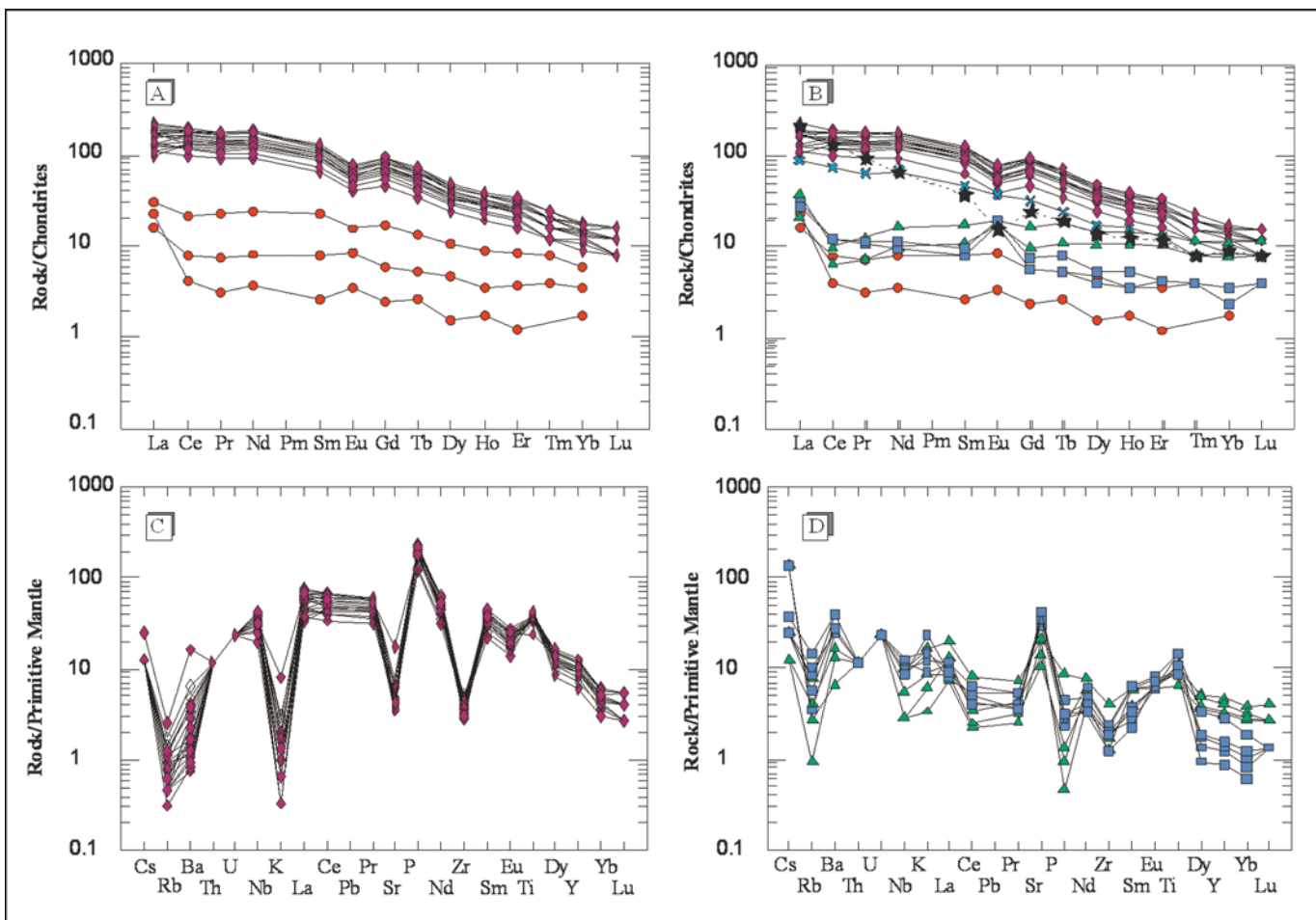
شکل ۶- نمودار انتخابی توزیع  $\text{TiO}_2$  در برابر  $\text{Fe}_2\text{O}_3^{\text{tot}}$  برای نمونه‌های برداشت شده از توده قره آغاج



شکل ۷- نمودار انتخابی توزیع V در برابر  $\text{SiO}_2$  برای نمونه‌های برداشت شده توده قره آغاج



شکل ۸- نمودار انتخابی توزیع  $\text{Ga}$  در برابر  $\text{Al}_2\text{O}_3$  برای نمونه‌های بداشت شده از توده قره‌آغاج



شکل ۹- نمودار بهنجار شده نسبت به کندریت برای سنگ‌های FTP (A)، انواع سنگ‌های مافیک و اولترامافیک (B)، نمودار عنکبوتی بهنجار شده بر اساس ترکیب گوشته اولیه برای سنگ‌های اولترامافیک غنی از آپاتیت (C) و سنگ‌های مافیک (D) توده قره‌آغاج



### کتابنگاری

- افخارنژاد، ج.، ۱۳۵۹- تفکیک بخش‌های مختلف ایران از نظر وضع ساختمانی در ارتباط با حوزه‌های رسوی، نشریه انجمن نفت، شماره ۸۲، صفحات ۱۹-۲۸
- اماعلی پور، ع.، ۱۳۷۸- بررسی زمین‌شناسی اقتصادی و کانه‌آرایی مقدماتی کانسار ایلمنیت- آپاتیت قره آغاج ارومیه، سومین همایش انجمن زمین‌شناسی ایران رحیم سوری، ی.، ۱۳۸۰- بررسی اکتشافی پتانسیل تیتانیم قره آغاج ارومیه، پایان نامه کارشناسی ارشد، دانشگاه تربیت معلم تهران، ۱۵۴ صفحه
- علیپور اصل، م.، ۱۳۷۵- بررسی زمین‌شناسی اقتصادی و پترولولوژی مجموعه آذرین مافیک و اولترامافیک ایلمنیت- آپاتیت دار شمال قره آغاج ارومیه، پایان نامه کارشناسی ارشد، دانشگاه شهید بهشتی، ۲۶۹ صفحه
- کاوشنگران، مهندسین مشاور، ۱۳۷۲- گزارش پتانسیل یابی مواد معدنی در منطقه شمال‌غرب شهرستان ارومیه کاوشنگران، مهندسین مشاور، ۱۳۷۵- گزارش طرح اکتشاف نیمه تفضیلی تیتان و فسفات در منطقه قره آغاج کاوشنگران، مهندسین مشاور، ۱۳۷۶- گزارش مطالعه فرآوری تیتان و فسفات منطقه قره آغاج ارومیه (در مقیاس آزمایشگاهی) کاوشنگران، مهندسین مشاور، ۱۳۷۷- گزارش طرح اکتشاف تفضیلی تیتان قره آغاج ارومیه (فاز یک)
- نبوی، م.ح.، ۱۳۵۵- دیباچه‌ای بر زمین‌شناسی ایران، سازمان زمین‌شناسی کشور، ۱۰۹ صفحه

### References

- Areback, H. & Stigh J., 2000- The nature and origin of an anorthosite associated ilmenite-rich leuconorite, Hakefjorden Complex, south-west Sweden. *Lithos* 51: 247-267
- Ashwal, L. D., 1993- Anorthosites: Berlin, Heidelberg, New York, Springer-Verlag, 422 p
- Buddington, A. F. & Lindsley D. H., 1964- Iron-titanium oxide minerals and synthetic equivalents. *J petrol* 5: 310-357
- Duchesne, J. C., 1999- Fe-Ti deposits in Rogaland anorthosites (South Norway): geochemical characteristics and problems of interpretation. *Mineral Deposita* 34: 182-198
- Dymek, H. F. & Owens, B. E., 2001- Petrogenesis of apatite-rich rocks (nelsonites and oxide-apatite gabbronorites) associated with massif anorthosites. *Econ Geol* 96: 797-815
- Force, E. R., 1991- Geology of titanium mineral deposit: Geological Society of America Special Paper 259, 112p
- Haggerty, S. E., 1991- Oxide textures: A mini-atlas. In: Lindsley DH (ed) Oxide Minerals: Petrologic and Magnetic Significance. *Reviews in Mineralogy* 25: 129-219
- Haghipour, A. & Aghanabati, A., 1973- Geological quadrangle map of Iran No. A3. Serow sheet, Series 1:250000, Geological Survey of Iran (GSI), Tehran
- Jiang, N., Chu, X., Mizuta, T., Ishiyama, D. & Mi, J., 2004- A magnetite-apatite deposit in the Fanshan alkaline ultramafic complex, Northern China. *Econ Geol* 99: 397-408
- Karkkainen, N. K. & Appelqvist, H., 1999- Genesis of a low-grade apatite-ilmenite-magnetite deposit in the Kauhajarvi gabbro, Western Finland. *Mineral Deposita* 34: 754-769
- Karkkainen, N. K. & Bornhorst, 2003- The Svecofennian gabbro-hosted Koivusaarenneva magmatic ilmenite deposit, Kälviä, Finland. *Mineral Deposita* 38: 169-184
- Karkkainen, N., Sarapää, O., Husskonen, M., Koistinen, E. & Lehtimäki, J., 1997- Ilmenite exploration in western Finland, and the mineral resources of the Kälviä ilmenite deposit. *Geol Surv Finland Spec Paper* 23: 15-24
- Kolker, A., 1982- Mineralogy and geochemistry of Fe-Ti oxide and apatite (nelsonite) deposits and evaluation of the liquid immiscibility hypothesis. *Econ Geol* 77: 1146-1158

- Lindsley, D. H., 2001- Do Fe-Ti oxide magmas exist? Geology: yes, experiments: no! In: Korneliussen A (ed) Abstracts – GEODE field workshop 8–12th July 2001 on
- Markl, G., 2001- REE constraints on fractionation processes of massive-type anorthosites on the Lofoten Islands, Norway. Mineral Petrol 72: 325-351
- Markl, G., Frost, B. R. & Bucher, K., 1998- The origin of anorthosites and related rocks from the Lofoten Islands, Northern Norway. I. Field relations and estimation of intrinsic variables. J Petrol 39: 1425–1452 Mc Birney, A. R., 1996- The Skaergaard intrusion. In: Cawthron RG (ed) Layered intrusions. Amsterdam, Elsevier, pp: 147-180
- Morse, S. A., 1990- The differentiation of the Skaergaard intrusion. Discussion of Hunter and Sparks (Contrib Min Petrol. 95:451-461). Contrib Min Petrol 104: 235
- Owens, B. E. & Dymek, R. F., 1992- Fe-Ti-P-rich rocks and massif anorthosite: problems of interpretation illustrated from the Labreville and St-Urbain plutons, Quebec. Can Mineral 30: 163-190
- Philpotts, A. R., 1967- Origin of certain iron-titanium oxide and apatite rocks. Econ Geol 62: 303-315 Reynolds IM., 1985- The nature and origin of titaniferous magnetite-rich layers in the Upper Zone of the Bushveld Complex: a review and synthesis. Econ Geol 80: 1089–1108
- Ripley, E. M., Severson, M. J. & Hauck, S. A., 1998- Evidence for sulphide and Fe-Ti-P-rich liquid immiscibility in the Duluth Complex, Minnesota. Econ Geol 93: 1052-1062
- Severson, M. J., 1988- Geology and structure of a portion of the Partridge River intrusion: A progress report: Duluth, University of Minnesota, Natural Resources Research Institute, Technical Report NRRI/GMIN-TR-88-08, 78 p
- Toplis, M. J., Dingwell, D. B. & Libourel, G., 1994- The effect of phosphorus on the iron redox ratio, viscosity, and density of an evolved ferro-basalt. Contrib Mineral Petrol 117: 293-304
- Von, Gruenewaldt, G., 1993- Ilmenite-apatite enrichments in the Upper Zone of the Bushveld Complex: a major titanium-rock phosphate resource. Int Geol Rev 35: 987-1000
- Watson, T. L. & Taber, S., 1913- Geology of the titanium and apatite deposits of Virginia: Virginia Geological Survey Bulletin 3A, 308 p
- Watson, T. L. & Taber, S., 1913- Geology of the titanium and apatite deposits of Virginia: Virginia Geological Survey Bulletin 3A, 308 p